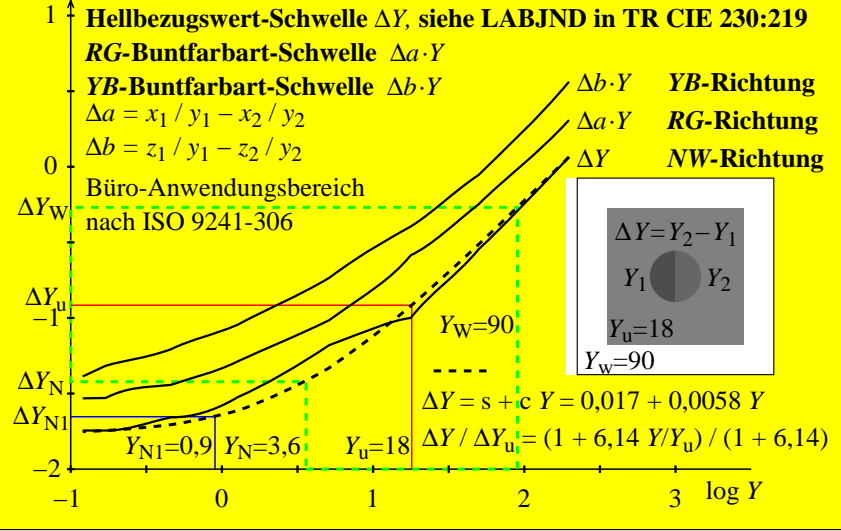


NW-Unbunt- sowie RG- und YB-Bunt-Schwellen als Funktion von Y

Experimente und Daten: BAM-Forschungsbericht Nr. 115 (1985), S. 72, siehe $\log[\Delta Y, \Delta a \cdot Y, \Delta b \cdot Y]$ <https://nbn-resolving.org/urn:nbn:de:kobv:b43-3350>



ega10-3n, eej10-7n

9stufige Grauskalierung zwischen $L^*_{0aN}=22.3$ und $L^*_{0aW}=96.0$, $Y_{0ref}=90.0$, Normierung: Grau U

$L^*_{0aN}=22.3, L^*_{0aU}=59.1, L^*_{0aW}=96.0, Y_{0aN}=3.6, Y_{0aU}=27.2, Y_{0aW}=90.0, C_{0aY}=Y_{0aW} \cdot Y_{0aN}=25.0$
 $L^*_{iN}=53.7, L^*_{iAU}=59.1, L^*_{iAW}=70.7, Y_{iAN}=21.7, Y_{iAU}=27.2, Y_{iAW}=41.8, C_{iAY}=Y_{iAW} \cdot Y_{iAN}=1.9$

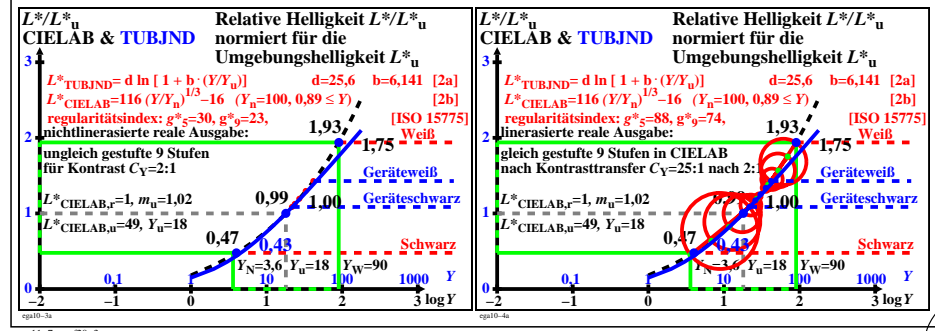
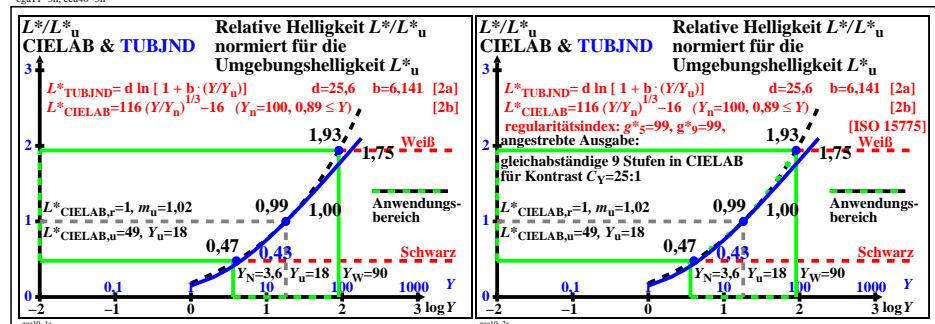
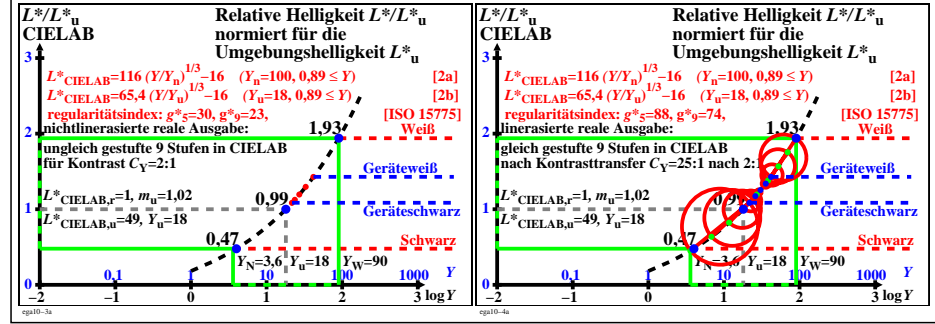
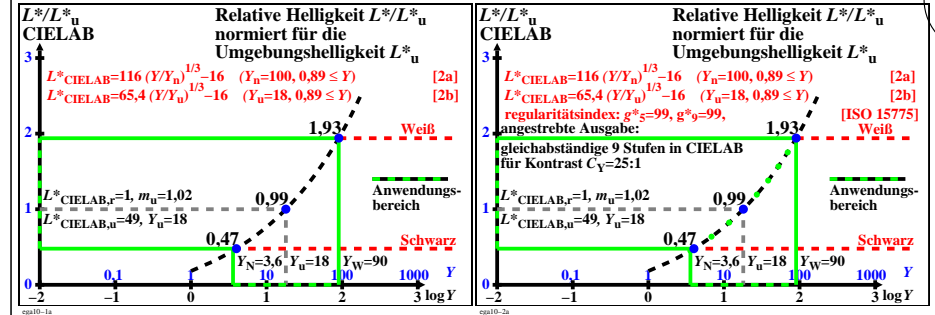
Regularitätsindex nach ISO/IEC 15775:2022, Anhang G für 5 und 9 Stufen
 $g^* = 100 [\Delta L^*_{min}] / [\Delta L^*_{max}]$

L*	n0.i	$g^*_5 = 99, g^*_9 = 99$ angestrebte Ausgabe				$g^*_5 = 30, g^*_9 = 23$ reale Ausgabe				$g^*_5 = 88, g^*_9 = 74$ linearisierte Ausgabe			
		L* _{0a}	L* _{0r}	Y _{0a}	Y _{0r}	L* _{ta}	ΔL^*_{ta}	L* _{tr}	Y _{ta}	(L* _{tr}) ^{1/1.6}	L* _{la}	ΔL^*_{la}	
100	9	96.0	1.0	90.0	1.0		1.0	41.8	1.0		70.7		
80	8	86.8	0.875	69.6	0.763	3.4	0.799	37.0	0.869	2.2	68.5	2.2	
75	7	77.6	0.75	52.5	0.566	3.1	0.617	33.1	0.74	2.2	66.3	2.2	
70	6	68.4	0.625	38.5	0.403	2.7	0.457	29.8	0.613	2.1	64.1	2.1	
65	5	59.1	0.5	27.2	0.273	2.3	0.319	27.2	0.49	2.1	62.0	2.1	
60	4	49.9	0.375	18.4	0.171	1.9	0.205	25.1	0.372	2.0	60.0	2.0	
55	3	40.7	0.25	11.7	0.094	1.5	0.115	23.6	0.259	1.9	58.1	1.9	
50	2	31.5	0.125	6.9	0.038	1.1	0.047	22.5	0.148	1.9	56.2	1.9	
45	1	22.3	0.0	3.6	0.0	0.8	0.0	21.7	0.0	2.5	53.7	2.5	

$\Delta L^*_{ta} = 9.2$ (i=1,2,...,9) Normierung: $Y_{taiU} = Y_{0aU} \frac{Y_{0ai} + Y_{0ref}}{Y_{0aU} + Y_{0ref}}$

ega10-7n, eef10-7n

TUB-Prüfvorlage ega1; Graustufung und Regularitätsindex g^* ; Linienelemente der Farbmatrik
 Vergleich der Skalierungs-, Schwellen- und Kontrastfunktionen für verschiedene Anwendungen



ega11-7n, eef20-3n